



## МОДЕЛЮВАННЯ ПРОЦЕСІВ В ПРИСТРОЇ КОНТРОЛЮ ІЗОЛЯЦІЇ ОПЕРАТИВНОГО ПОСТІЙНОГО СТРУМУ

Описується важливість мереж оперативного постійного струму, що ставить на перший план їх надійність. В статті розглядається побудова математичної моделі зміни напруги на опори котушки реле релейного захисту взагалі, на прикладі УКИ-1 зокрема.

**Вступ.** Мережі оперативного постійного струму (МОПС) електричних станцій і підстанцій призначені для живлення пристроїв релейного захисту і автоматики, відповідальних механізмів власних потреб, аварійного освітлення, котушок увімкнення та вимкнення високовольтних вимикачів і т. ін. Це висуває високі вимоги до надійності МОПС.

Одним із найважливіших чинників для контролю при роботі даних мереж є величина опоры ізоляції.

Багато років для контролю ізоляції мереж ОПС електричних станцій і підстанцій застосовується пристрій, розроблений трестом ОРГРЕС (УКИ-1). Вимірювальний прилад цього пристрою включений по схемі містка.

В даній статті розглядається принцип дії типового захисту від зниження ізоляції МОПС на прикладі УКИ-1.

**Математична модель зміни напруги на опорі котушки реле релейного захисту від часу при підключенні кабельної лінії (КЛ) підчас пошуку пошкодження.**

Розглянемо випадок замикання на землю через перехідний опір  $R_3$  додатного полюса однієї з КЛ. Схема заміщення приведена на Рис. 1.

На Рис. 1 показані:  $E$  – електрорушійна сила (ЕРС) джерела – акумуляторної батареї (230 В);  $R_1$  – внутрішній опір джерела – 0,00001 Ом;  $R_2, R_3$  – еквівалентні опори додатного та від’ємного полюсів всієї МОПС відносно “землі” (31 кОм);

$C_1, C_2$  – ємності ізоляції полюсів МОПС відносно землі (40 мкФ) [1];  $R_4$  – перехідний опір в місці замикання додатного полюса на землю (20 Ом);  $R_5$  – опір справної ізоляції від’ємного полюса пошкодженої КЛ (1 МОм);  $C_3$  – ємність проводу від котушки реле до інших елементів схеми релейного захисту,  $R_7$  – опір котушки реле або дискретного входу мікропроцесорного релейного захисту;  $R_6$  – опір розімкнених контактів інших елементів схеми релейного захисту (1 МОм).

Величини  $R_2, R_3$  отримані після перетворень у відповідності до Рис. 2. На Рис. 2 показані  $R_{\text{дод}}$  – додаткові опори пристрою контролю ізоляції “УКИ-1” (по 2 кОм) [2];  $R_{\text{реле}}$  – опір котушки реле напруги “УКИ-1” (15 кОм) [3];  $R_{\text{із+}}, R_{\text{із-}}$  – опори ізоляції полюсів відносно “землі” (по 1 МОм),  $R_{\text{нав}}$  – опір навантаження (10 Ом).

У відповідності до Рис. 2:

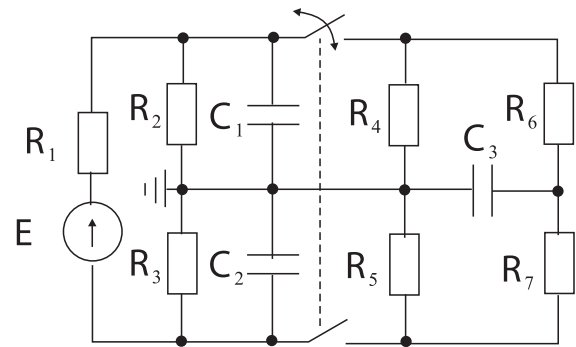


Рис. 1. Схема заміщення МОПС для замикання додатного полюса.

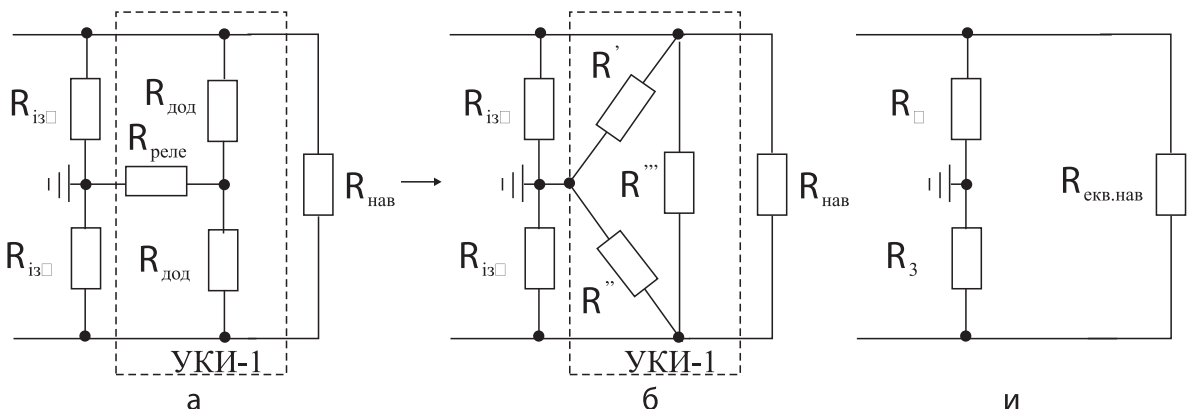


Рис. 2. Перетворення розрахункової схеми

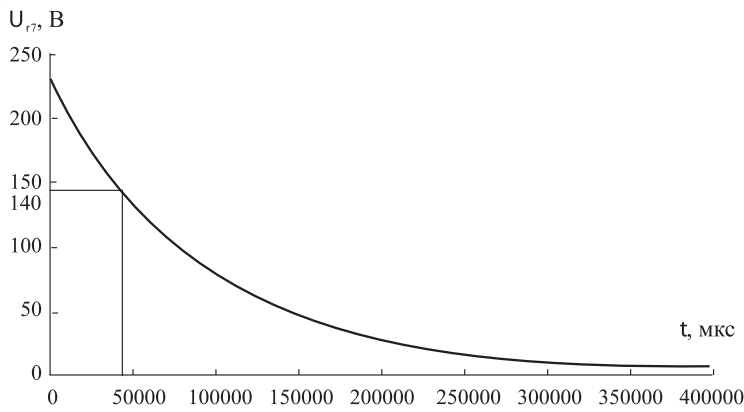


Рис. 3. Зміна напруги на котушці реле при  $C_3 = 1 \text{ мкФ}$  та  $R_7 = 100 \text{ кОм}$

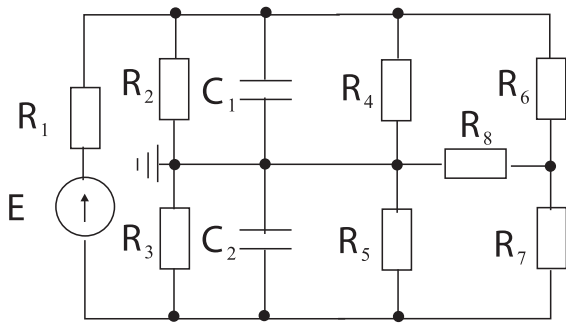


Рис. 4. Фрагмент схеми МОПС при подвійному замиканні

- після перетворення "зірки" опорів "УКИ-1" в "трикутник" опорів отримуємо(1, 2):

$$R' = R'' = R_{\text{реле}} + R_{\text{дод}} + (R_{\text{реле}} \times R_{\text{дод}}) / R_{\text{дод}}, \quad (1)$$

$$R' = R'' = 15000 + 2000 + (15000 \times 2000) / 2000 = 32000 \text{ Ом},$$

$$R' = R'' = 31000 \text{ Ом при } R_{\text{дод}} = 1000 \text{ Ом};$$

$$R' = R'' = R_{\text{дод}} + R_{\text{дод}} + (R_{\text{дод}} \times R_{\text{дод}}) / R_{\text{реле}}, \quad (2)$$

$$R''' = 2000 + 2000 + 2000 \times 2000 / 15000 = 4267 \text{ Ом},$$

$$R''' = 2067 \text{ Ом при } R_{\text{дод}} = 1000 \text{ Ом};$$

- еквівалентні опори додатного та від'ємного полюсів всієї МОПС відносно "землі" (3):

$$R_2 = R_3 = R' \times R_{\text{із+}} / (R' + R_{\text{із+}}) = R' \times R_{\text{із-}} / (R' + R_{\text{із-}}), \quad (3)$$

$$R_2 = R_3 = 32000 \times 1000000 / (1000000 + 32000) = 31008 \text{ Ом},$$

$$R_2 = R_3 = 30070 \text{ Ом при } R_{\text{дод}} = 1000 \text{ Ом};$$

- еквівалентний опір навантаження (4):

$$R_{\text{екв.нав.}} = R''' \times R_{\text{нав.}} / (R''' + R_{\text{нав.}}), \quad (4)$$

$$R_{\text{екв.нав.}} = 10 \times 4267 / (10 + 4267) = 9,98 \approx 10, \text{ Ом}.$$

Тому  $R'''$  майже не впливає на  $R_{\text{екв.нав.}}$ , а

тому може не враховуватись в розрахунках.

В результаті моделювання отримуємо залежність зміни напруги на опорі котушки реле релейного захисту від часу (Рис. 3) при підключенні КЛ підчас пошуку пошкодження.

З Рис. 3 видно, що напруга більше 140 В буде на котушці реле не менше 50 мкс. При  $R_7 = 5 \text{ кОм}$  напруга більше 140 В на  $R_7$  протримається не менше 30 мкс. За цей час реле може помилково спрацювати [3–6]. Зменшення ємності  $C_3$  до 0,1 мкФ призводить до зменшення часу на спрацювання реле до 0,5 мкс.

Замінімо ємність  $C_3$  (Рис. 1) на опір  $R_8$  (Рис. 4). Це відповідає замиканню на землю в схемі релейного захисту через перехідний опір  $R_8$ .

Якщо  $R_8 = 30 \text{ кОм}$ , то "УКИ-1" не подасть сигнал про виникнення такого замикання. Тому не будуть вжиті заходи щодо пошуку та ліквідації місця пошкодження. З часом може виникнути замикання додатного полюса МОПС на іншому фідері через опір  $R_3$ . Якщо до цього часу попереднє замкнення не буде усунено, то напруга на опорі  $R_7 \geq 100 \text{ кОм}$  (вхідний опір дискретного входу мікропроцесорного захисту) зросте до  $U_{R7} \geq 173 \text{ В}$ . Це також може призвести до помилкової роботи релейного захисту. В результаті моделювання отримана залежність напруги на опорі  $R_7$  від величини перехідного опору в місці замикання  $R_8$ , яка показана на Рис. 5.

Як видно з Рис. 5 при замкненні в колах релейного захисту через перехідний опір ( $R_8$ ) 20 кОм та одночасному замкненні додатного полюса через перехідний опір 20 Ом напруга на дискретному вході мікропроцесорного захисту становитиме 188 В при вхідному опорі ( $R_7$ ) 20 кОм, а при зростанні  $R_8$  до 60 кОм буде зменшуватись до 138 В, залишаючись достатньою для помилкового

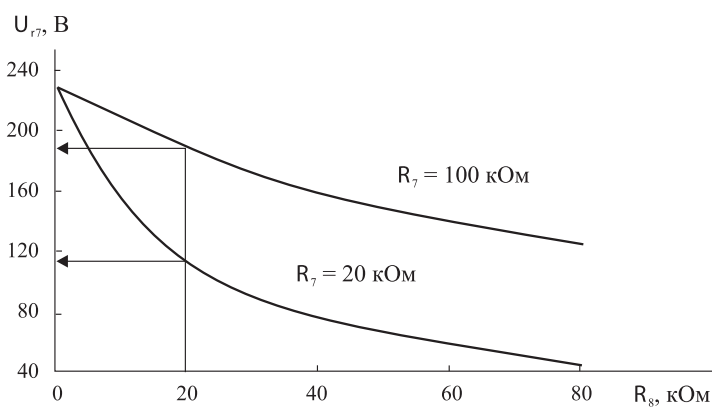


Рис. 5. Залежність напруги на вході релейного захисту від перехідного опору в місці замкнення



спрацьовування релейного захисту. Зменшення вхідного опору шляхом шунтування  $R_7$  призведе до зменшення напруги  $U_{R6}$  до безпечних з точки зору помилкових спрацьовувань величин (Рис. 5) при опорах в місці замкнення ( $R_8$ ) більших за 20 кОм. Але це не вирішує проблеми швидкого знаходження та усунення місця однополюсного замикання на землю.

**Висновки.** Потрібно вдосконалювати методи та засоби загальномережевого контролю ізоляції так, щоб забезпечити вчасне попередження персоналу про зниження опору ізоляції полюсів від 100 кОм та менше. А також необхідно вдосконалювати методи автоматичного визначення пошкодженої КЛ, з метою скорочення часу існування однополюсного замикання на “землю”, та з метою зменшення імовірності двополюсного замикання.

Для цього потрібно дослідити процеси зміни напруг та струмів в МОПС при однополюсних замиканнях на вдосконалених, або на нових математичних моделях.

## ЛІТЕРАТУРА

1. *Борухман В.А., Кулдыкин А.Н.* Устройство ИПИ-1 для отыскания мест повреждения изоляции в сетях оперативного постоянного тока // Энергетик. — 1985. — № 2. — С. 28–29.
2. *Цапенко Е.Ф.* Контроль изоляции в сетях до 1000 В. — М.: Энергия, 1972. — 152 с.
3. *Алексеев В.С. и др.* Реле защиты. — М.: Энергия, 1976. — 404 с.
4. *Микропроцессорное устройство защиты, автоматики, контроля и управления присоединений 10/6 кВ МРЗС-05М.* Руководство по эксплуатации. РСГИ. 466452.012 РЭ. — К.: ПО "Киевприбор", 2005. — 76 с.
5. *Блок УЗА-10А.2.* НКУ релейной защиты и автоматики по току. Техническое описание и инструкция по эксплуатации. ЭВМ.040.08.08.100.ТО. Версия от 28.03.05. ЕМВ "Энергомашвин", 2005. — 15 с.
6. *Микропроцессорное устройство защиты, автоматики, контроля и управления присоединений 6–35 кВ МРЗС-05-01.* Руководство по эксплуатации. РСГИ. 466452.007-01 РЭ. — К.: ПО "Киевприбор", 2000. — 226 с.

© Жук І.А., 2013

